



DR-9309.- Lumaquela de ostreidos y pectínidos hacia la base de los conglomerados, arenas y limos del Plioceno Inferior y Medio (13).



DR-9310.- Conglomerados arenas y limos, bancos de areniscas cementadas y lumaquelas. Plioceno inferior y medio (13).



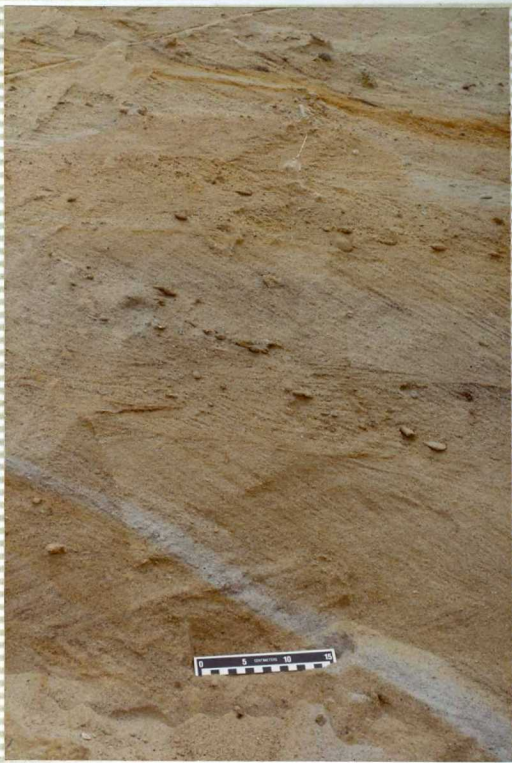
DR-9311.- Idem a 9310.



DR-9315.- Canteras de Majaratozán, ostreas en posición de vida de hasta 40 cms. de longitud.



DR-9316.- Vista del frente de cantera (idem a 9315), en las arenas del Plioceno inferior y medio (13).



DR-9317.- Detalle de laminaciones cruzadas de surco de gran amplitud, en las arenas del Plioceno Inferior y Medio (14). ¿Canal de Marea?



DR-9318.- Vista general de la anterior.



DR-9321.- Vista panorámica de las Mesas de Asta, relieve constituido por materiales Pliocenos.



DR-9322.- Bancos de ostreidos y pectínidos, dispersos en las arenas del Plioceno inferior y medio (13). Mesas de Santiago.



DR-9323.- Panorámica de la Sierra de Gibalbín, desde Mesas de Santiago.



DR-9325.- Cantera, en las calcarenitas de Sierra Gamaza (11).



DR-9326.- Panorámica de las 2 barras de calcarenitas (11) en la vecina Hoja de Arcos. Posible sinclinal volcado?



DR-9327.- Posible espejo de Falla en las calcarenitas del Messiniense superior (11).



DR-9328.- Panorámica de Sierra Gamaza, a la derecha al fondo Gibalbín.



DR-9329.- Cantera del Cortijo de Granadilla, calizas detríticas bioclásticas intercaladas en las margas blancas "albarizas" (8).



DR-9331.- Pequeño sinclinal en la serie alternante de margas y calcarenitas del Messiniense (10).



DR-9332.- Pequeña cantera en margas y margo-calizas del Cretácico inferior (5), y dolomías del Trías (3), rodeadas por materiales cuaternarios y albarizas.



DR-9334.- Panorámica de la Sierra de Gibalbín vista desde el SE; Abanicos
aluviales que rodean la Sierra.



DR-9335.- Fracturas verticales en las arenas del Plioceno inferior y medio (13).



DR-9336.- Calizas lacustres Pliocenas (14), verticalizadas por fallas, cerca del contacto con el Trías.



DR-9337.- Llanura Pliocuaternaria (Llanos de la Caulina) al NE de Jerez.



DR-9338.- Calizas Eocenas (7) encima del Trías.



DR-9348.- Vista panorámica, desde la Sierra de Gibalbín, de los Llanos de Caulina, al fondo Jerez de la Frontera. En primer término serie de margas y margo calizas Cretácico-Paleogeno (6 y 7).



DR-9371.- Calizas lacustres del Plioceno superior (14). Niveles de sílex negro.



DR-9372.- Calizas lacustres del Plioceno superior (14). Afloramiento de M
sas de Asta.



DR-9373.- Arenas bioturbadas Plioceno inferior y medio (13). Intensa bioturbación, "burrows" verticales de hasta 40 cms.



DR-9340.- Margas blancas, limos siliceos, "moronitas" o "albarizas".



DR-9339.- Llanura Pliocuaternaria. Idem a 9337 desde otro ángulo.



DR-9341.- Idem a 9340.



DR-9342.- Panorámicas de los afloramientos de albarizas, al fondo Sierra de Gibalbín.



DR-9342 (Bis).- Típico afloramiento de albarizas.



DR-9349.- Margas grises y amarillentas del Aptiense-Albiense (5).



DR-9353.- Pequeña cantera abandonada en calizas bioclásticas Paleoceno-Eo
ceno (?).



DR-9354 (Bis).- Al lado de la anterior. Margas grises con intensa tectu-
zación (?).



DR-9354.- Flanco de sinclinal fallado en calizas bioclásticas Paleoceno-Eoceno (?).



DR-9355.- Afloramiento de triásico, con yesos, al sur de la Sierra de Gibalbín y en contacto mecanizado con las margas Aptiense-Albiense.



DR-9357.- Farallon de yesos del Trías debajo de margas cretácicas.



DR-9363.- Cantera abandonada en dolomías del Muschelkalk? (3).



DR-9360.- En primer término aluvial del Guadalete, al fondo triásico y en cima margas blancas Paleogenas.



DR-9367.- Terraza del Guadalete encima de las margas azules Miocenas.



DR-9368.- Terraza del Guadalete, no se aprecian bien cantos imbricados.



DR-9375.- Vista panorámica del Cerro Tinaja donde afloran calizas grises del Hauteriviense-Barremiense con Ammonites (4).



DR-9376.- Vista panorámica de la Marisma de Tabajete desde Mesa de Asta.



CZ-9433.- Serie Neógena de la Mesa de Asta cuyo techo lo constituyen las calizas lacustres del Plioceno superior (15).



CZ-9434.- Aspecto de las facies lacustres del Plioceno superior. Arcillas organógenas, niveles de sílex y calizas con gasterópodos (15). Mesa de Asta.



CZ-9435.- Contacto entre las arenas amarillas del Plioceno inferior-medio (14) y las facies lacustres del Plioceno superior, que comienzan con niveles organógenos y desarrollo de suelos hidromorforos para pasar a techo a la tabla de caliza lacustre (15). Canteras de Majaratozán.



CZ-9436.- Calizas del Plioceno superior (15) buzando 60-65°N, como resultado de la fase compresiva cuaternaria. Canteras de Melgarejo.



CZ-9437.- Bancos de calizas lacustres alternando con niveles parduzcos ricos en materia orgánica (15); todo el conjunto se presenta plegado en dirección general del eje de los pliegues N-S. F.C. Jerez-Arcos de la Frontera, Km. 11,5.



CZ-9438.- Arenas rojas con cantos de cuarcita. Depósito antiguo del Guadaluquivir (16). Ctra Nal. IV, Km. 629,300.



CZ-9439.- Morfología que desarrollan los sistemas de abanicos aluviales (18, 21, 24, 26) que se extienden al pie de la S^a de Gibalbín. Vista tomada desde el poblado de Gibalbín.



CZ-9440.- Sistemas de abanicos aluviales superpuestos. Ctra Melgarejo-Pobla
do de Gibalbín.



CZ-9441.- Facies de canal dentro dela banico aluvial (24). Próximo al Cor
tijo de la Sierra de Gibalbín.



CZ-9442.- Procesos kársticos que se desarrollan sobre las arenas lumaquéticas carbonatadas del Plioceno inferior y medio. Las microdepresiones se rellenan de arenas finas rojas (19). Ctra Jerez-La Barca de la Florida.



CZ-9443.- Detalle de los "poches" que se desarrollan sobre las arenas carbonatadas del Plioceno inferior-medio. Arenas finas rojas rellenando los mismos (19). Ctra Jerez-La Cartuja.



CZ-9444.- Depresión de los Llanos de Caulina, antiguo paso de un brazo del Guadalquivir durante el Pleistoceno inferior. Cà Jerez-Arcos.



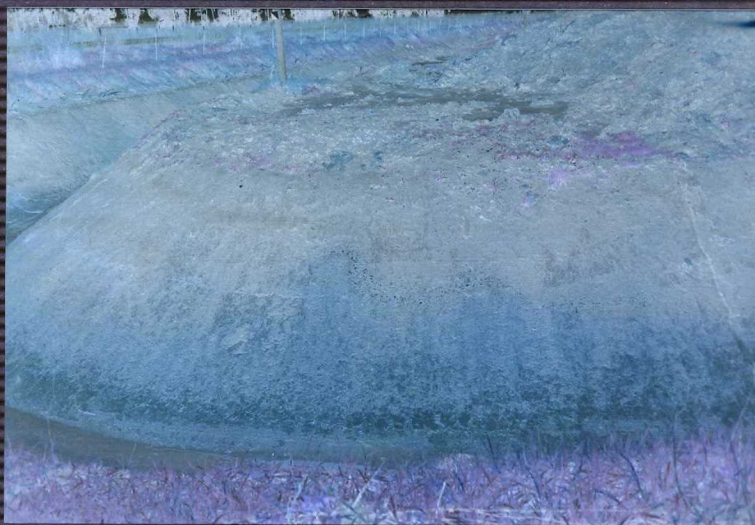
CZ-9445.- Terraza del río Guadalete, +15-20 m. (25).



CZ-9446.- Desarrollo de suelos vérticos (30) sobre las margas azuladas del Tortoniano. Obsérvese cómo la mayor potencia se da en las zonas más deprimidas. Próximo a Cortijo Tenorio.



CZ-9447.- Desarrollos de suelos vérticos (30) sobre las margas gris azuladas del Tortoniano.
Límite Oeste del Cerro del Trobal.



CZ-9448.- Superposición de los aluviales (31, 39) que en la actualidad rellenan la Depresión de los Llanos de Caulina. Km. 8,200 de la Ctra Jerez-Arcos.



CZ-9449.- Arenas amarillas lumaquélicas y carbonatadas sobre las que se de-
sarrollan procesos kársticos que dan origen a las arenas finas
rojas (19). Ctra Jerez-Barca de la Florida.



CZ-9450.- Detalle de las formas kársticas rellenas por arenas finas rojas (19). Que se desarrollan sobre las arenas finas amarillas carbonatadas del Plioceno inferior y medio. Cá Jerez-La Barca de la Florida.



CZ-9451.- Terraza del río Guadalete +10 m. (29). Conglomerado de cantos de caliza y arenisca cementadas con matriz arenosa. José Antonio.